

Vaisiaus intraskilvelinių kraujosruvu radiologinė diagnostika magnetinio rezonanso tomografu

R. Damošiūtė*

D. Budriūnaitė*

R. Gleizniene**

* Lietuvos sveikatos mokslų universiteto Medicinos akademijos Medicinos fakultetas

** Lietuvos sveikatos mokslų universiteto Medicinos akademijos Radiologijos klinika

Santrauka. Intrakranijinis kraujavimas (ICH) yra dažnai pasitaikanti patologija neišešiotiems naujagimiams. Šiuo terminu yra apibūdinamos kraujosruvos, atsiradusios bet kur kaukolės ertmėje, išskaitant smegenų dangalus, galvos smegenų parenchimą ir skilvelius. Prenataliai dažniausiai diagnozuojamos intraskilvelinės kraujosruvos (IVH). Pagal kraujosruvos lokalizaciją ir apimtį IVH yra skirtomos į keturis laipsnius. Ultragarsinis tyrimas (UG), magnetinio rezonanso tomografija (MRT) ir šių tyrimo metodų derinys yra vertingas diagnozuojant IVH *in utero*. Šiame straipsnyje pateikiamas Lietuvos sveikatos mokslų universiteto ligoninėje nustatytas klinikinis atvejis, aptariamas jo radiologinis ištýrimas.

Raktažodžiai: intraskilvelinės kraujosruvos, intraparenchiminės kraujosruvos, vaisiaus magnetinio rezonanso tomografija.

Neurologijos seminarai 2015; 19(64): 151-155

IVADAS

Intrakranijinis kraujavimas (ICH) yra dažnai pasitaikanti patologija neišešiotiems naujagimiams [1]. Ši patologija retais atvejais gali pasitaikyti dar intrauterininiame periode (*in utero*) [1, 2]. Dažniausiai ICH vaisiui nėra diagnozuojamas prenataliai, todėl nėra tiksliai aiškus šios patologijos paplitimas bendroje populiacijoje. Numanomas ICH *in utero* dažnis yra apie 1 iš 10 000 nėstumų [3].

ICH terminu apibūdinamas kraujavimas, atsiradęs bet kur kaukolės ertmėje, išskaitant smegenų dangalus, sub/epiduraliai, galvos smegenų parenchimą ir skilvelius. Prenataliai dažniausiai diagnozuojamos intraskilvelinės kraujosruvos (IVH), tačiau kraujavimas gali atsirasti ir kitose srityse – intraaksialiai (smegenelių ir didžiųjų smegenų pusrutiliuose, smegenelių kirmine) ir ekstraaksialiai (epi-/subduriniuose ir subarachnoidiniuose tarpuose) [2].

ATVEJO APRAŠYMAS

39 m. amžiaus nėščioji. Pirmas nėstumas, 29 savaitės pagal pirmąjį ultragarsinį (UG) tyrimą. Ambulatoriškai atlirkame UG tyime stebėtas iki 13 mm išsiplėtęs kairysis smegenų skilvelis. Nėščioji atsiusta į LSMUL KK Akušerijos ir ginekologijos klinikos moterų konsultaciją dėl įtarimų vaisiaus patologijos.

Adresas:

Jurgita Grikinienė

Vaikų ligoninė, Vilniaus universiteto ligoninės

Santariškių klinikų filialas, Pediatrijos centras

Santariškių g. 4, 08661 Vilnius

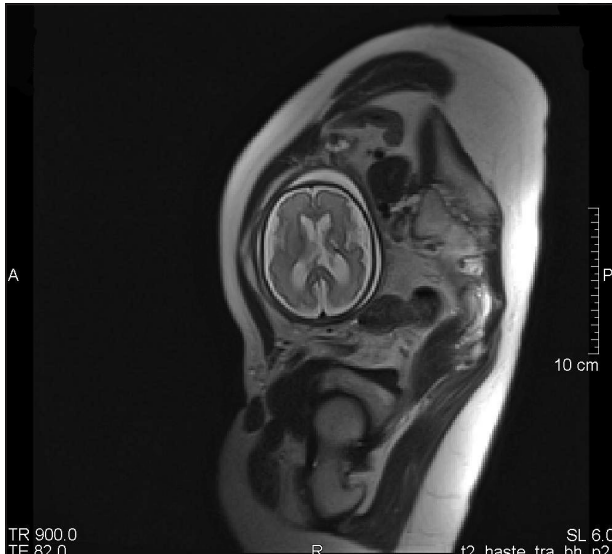
Tel. (8 684) 11 405, el. paštas jurgita.grikiniene@mf.vu.lt

LSMUL KK Akušerijos ir ginekologijos klinikos moterų konsultacijoje pacientei atliktas transabdominalinis ultragarsinis vaisiaus tyrimas: vienas vaisius, registrojama širdies veikla, išilginė vaisiaus padėtis, sėdyninė pirmeiga. Vaisiaus matmenys: biparietalinis matmuo – 7,44 mm, galvos apimtis – 272 mm (atitinka 29 savaites ir 6 dienas); pilvo apimtis – 215 mm (atitinka 26 savaites); šlaunikaulio ilgis – 54,9 mm (atitinka 29 savaites). Placentata gimdos priekinėje sienoje, virkštelėje 3 kraujagyslės, normalus vandenų kiekis. Nustatytos vaisiaus raidos anomalijos: *corpus callosum* agenezė: nėra *cavum septi pellucidi*, trečiasis smegenų skilvelis ir šoninių skilvelių priekiniai ragai susilieję. Išvados: 29 savaičių nėstumas, asimetrinė hipotrofija, lobarinė holoprozencefalija. Rekomenduota atlikiti vaisiaus magnetinio rezonanso tyrimą ir kordocentezę.

Atliktas vaisiaus galvos smegenų magnetinio rezonanso tomografijos (MRT) tyrimas. Tyrimui naudotas MR, Siemens Avanto, 1,5 T stiprumo tomografas. Tyrimas atliktas T2W/TSE, T1W/SE, DW režimais, aksialiniai, sagitaliniai, koronariniai pjūviai, be intraveninio kontrastinio vaizdo sustiprinimo. Vertinimas: dešinėje požievio branduolių ir *corona radiata* projekcijoje matomas $16,3 \times 8,4$ mm dydžio poūmio pakraujavimo židinys, be aplinkinės reakcijos. Hidrocefalijos požymiai ir sklaidos defektų nematyti. Vagų formavimasis atitinka 29 savaičių nėstumą.

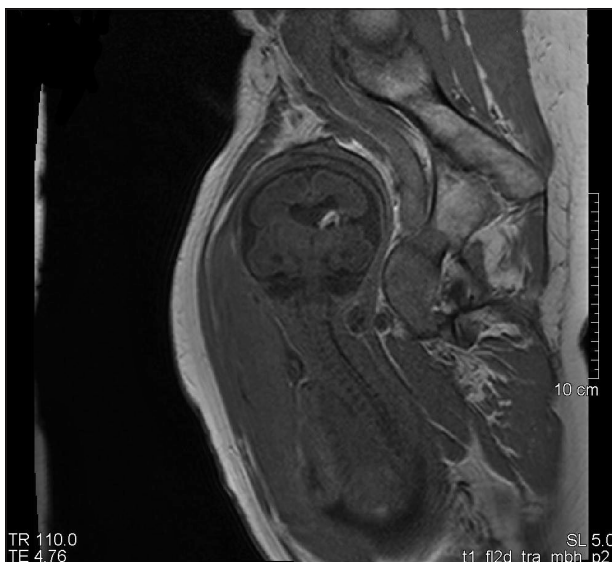
Kordocentezė neatlikta.

Nėščioji hospitalizuota į gimdymo stacionarą dėl nutekėjusių vaisiaus vandenų ir juntamų reguliarų gimdos susitraukimų, esant 39 savaičių nėstumui. Dėl prasidedančios vaisiaus hipoksijos ir nepasiruošusių gimdymo takų atlikta skubi cezario pjūvio operacija. Operacijos metu ištrauktas hipotrofiškas vyriškos lyties naujagimis, svoris – 2 890 g (< 10 procentilės).



1 pav. MRT T2W. Ašinis vaizdas

Matomas izointensinio SI smegenų parenchimai židinys su hiperintensinio SI intarpu dešinėje požievio branduolių projekcijoje, apimantis germinalinį matriksą.



3 pav. MRT T1W. Koronarinis vaizdas

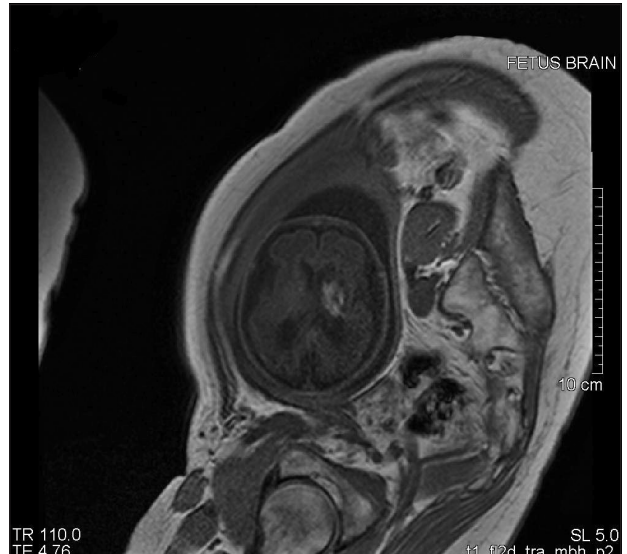
Stebimas hiperintensinio SI smegenų parenchimai židinys dešinėje požievio branduolių ir corona radiata projekcijoje, apimantis germinalinį matriksą.

Naujagiminis gimė neaktyvus, oda cianotiška, atoniškas, arefleksiškas, ŠSD < 100 k/min. Taikyti pradinio naujagimio gaivinimo veiksmai. Po 2 minucių oda parausvėjo, atsirado raumenų tonusas ir refleksai, ŠSD > 100 k/min, atsirado reguliarus kvépavimas. Išliko akrocianozė. Naujagimio būklės vertinimas pagal Apgar 1 min. – 3 balai, 5 min. – 8 balai.

Neurologinė naujagimio apžiūra: fiziologiniai refleksai išgaunami visi, raumenų tonusas normalus, abipus vienodas.

Nuo 3 mėnesių amžiaus kūdikiui pastebėti kairės pusės parezės požymiai, todėl pradėta taikyti kineziterapija.

Pacientui esant 2 metų ir 4 mėnesių amžiaus, pasireiškė pirmasis toninių traukulių epizodas, kurio metu pacientas

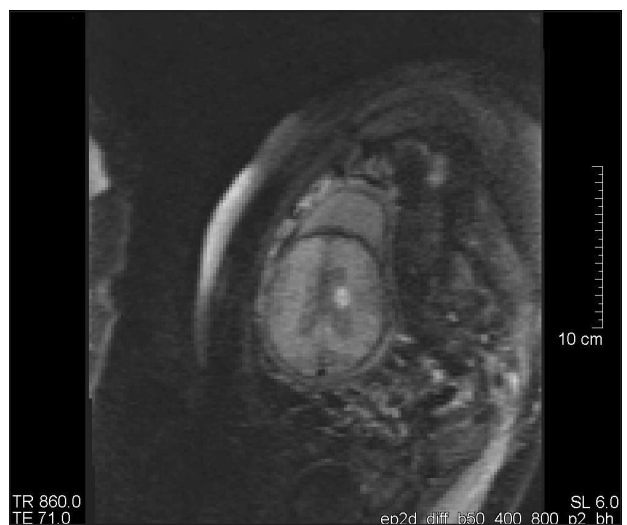


2 pav. MRT T1W. Ašinis vaizdas

Stebimas hiperintensinio SI smegenų parenchimai židinys dešinėje požievio branduolių projekcijoje, apimantis germinalinį matriksą.

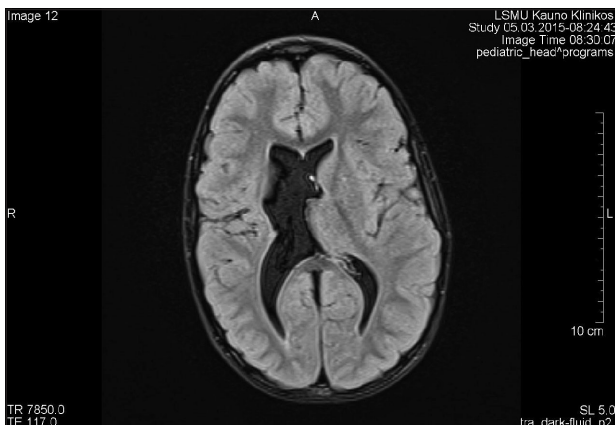


4 pav. MRT T2W. Sagitalinis vaizdas



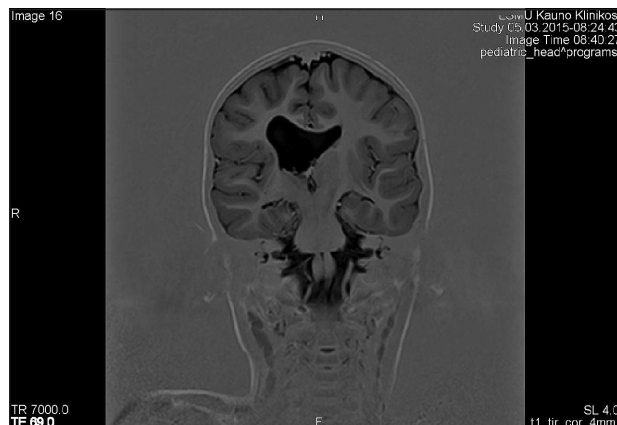
5 pav. MRT DW b1000. Ašinis vaizdas

Matomas hiperintensinio SI smegenų parenchimai židinys dešinėje požievio branduolių projekcijoje.



6 pav. T2W FLAIR. Ašinis vaizdas

Matomas dešiniojo šoninio skilvelio išsiplėtimas po buvusių kraujosruvos.



7 pav. T1W IR. Koronarinis vaizdas

Matomas dešiniojo šoninio skilvelio išsiplėtimas po buvusių kraujosruvos.

buvo nekontaktiškas, pasireiškė akių judesiai, panasūs į nistagmą, buvo paryškėjės seilėtekis. Priepuolis truko 3–5 minutes. Klinikinio neurologinio ištyrimo duomenys: raumenų tonusas didesnis kairiosiose galūnėse, sustiprėjė sausgyslių ir antkaulio refleksai kairėje pusėje, išgaunamas teigiamas Babinskio refleksas abipus. Po minėto priepuolio pacientui buvo atlikta miego elektroencefalograma (EEG), kurios metu fiziologiniai miego fenomenai registruoti tik kairėje pusėje, dešinėje parietookcipitotemporalinėje zonoje registratoruota delta aktyvumas ir du židininiai priepuoliai, galimai kylantys iš dešinės frontotemporalinės zonas. Remiantis klinikinio tyrimo duomenimis ir miego EEG pokyčiais, nustatyta spazminio cerebrinio paralyžiaus ir židininės simptominės epilepsijos diagnozė. Gydymui paskirti valproinės rūgšties (VPA) preparatai.

Po paskirto gydymo pasireiškė keli nereagavimo į aplinką epizodai su paryškėjusiu seilėtekiu, todėl buvo padinta VPA dozė. Tarp priepuolių pacientas energingas, domisi aplinka.

Pacientui esant 3 metų ir 11 mėnesių amžiaus, atliktas galvos smegenų MRT tyrimas, kurio metu nustatytas išsiplėties dešinysis šoninis smegenų skilvelis.

APTARIMAS

Intraskilvelinės hemoragijos, pagal UG ir MRT tyrimų rezultatus, yra klasifikuojamos į keturis laipsnius [2, 4]:

- I – kraujosruva germinaliniame matrikse;
- II – kraujosruva smegenų skilveliuose, nesant ventrikulomegalijos;
- III – kraujosruva smegenų skilveliuose su ventrikulomegalija;
- IV – II ar III kraujosruvos požymiai kartu su kraujosruva smegenų parenchimoje (bet kurioje jos vietoje, bet kokios apimties) [2, 4].

Apašomu atveju UG tyrimu buvo nustatyta lobarinė holoprozencefalija, o IVH nestebėta. Atlirkus MRT tyrimą, skliaudos defektų nestebėta ir nustatytas I IVH.

Etiologija

Veiksnius, galinčius nulemti IVH *in utero* atsiradimą, galima suskirstyti į kelias grupes:

- motinos ligos ir būklės: aloimuninė ar idiopatinė trombocitopenija, von Willebrand liga, specifinių vaistų vartojimas (pvz., varfarinas), narkotikų (kokaino) vartojimas, traukuliai, cholestazė nėštumo metu, febrilus karščiavimas nėštumo metu;
- išoriniai veiksniai: nėščiosios pilvo trauma, galėjusi sukelti vaisiaus sužeidimą, amniocentezė;
- vaisiaus patologijos: įgimtas X ir V krešėjimo faktorių trūkumas, kraujavimas į įvairius įgimtus navikus, dvinarių tranzfuzijos sindromas [5].

Yra duomenų, kad IVH *in utero* gali nulemti genetinės mutacijos, sukeliančios nenormalų jungiamojo audinio vystymasi vaisiaus smegenyse [6–11]. Tačiau, nors ir yra žinoma daug predisponuojančių veiksniių, dažnai šios patologijos priežastis lieka neaiški [6].

Mūsų aprašomu atveju žinomų rizikos veiksniių, galinčių nulemti IVH atsiradimą, nebuvo, todėl priežastis liko neaiški, kaip ir daugeliu literatūroje aprašomu atvejų.

Diagnostika

Yra žinoma, kad ultragarsinis tyrimas, magnetinio rezonanso tomografija ar šiu tyrimo metodų derinys yra vertinę diagnozuojant IVH *in utero*. Vaisiaus MRT yra naudojamas patvirtinti ir apibūdinti smegenų anomalijas, kurios pirmiausia būna aptiktos rutinių prenatalinių ultragarsių diagnostiką metu. Taip pat vaisiaus MRT padeda identifikuoti papildomas, ultragarsu nepastebimas anomalijas [12, 13]. Vaisiaus MRT diagnostikos metodas turi keletą ryškių pranašumų prieš prenatalinį ultragarsą, pavyzdžiui: vaizdų kokybė nepriklauso nuo amniono skysčio tūrio, vaisaus padėties, kaukolės kaulėjimo šešelių, taip pat pasizymyti geresne kontrastu rezoliucija, galima tiesiogiai vizualizuoti abu pulsutulius, smegenų žievės ir vagų vystymasi [14–16]. Studijos parodė, kad daugiau nei 50 % atvejų vaisiaus MRT tyrimo metu galima aptikti ultragarsu nepaste-

bėtų anomalijų [17, 18], tokį kaip: *corpus callosum agenèzē*, smegenų žievės vagų anomalijos, smegenelių displazija, periventrikulinė leukomaliacija, multicistinė encefalomaliacija, germinalinio matrikso hemoragijas ir intraventrikulines hemoragijas [17, 19]. Tačiau, nepaisant visų MRT tyrimo privalumų, vaisiaus MRT atlikimo indikacijas lemia tik prenatalinio ultragarso metu aptiktai pakitimai. Vertinant vaisiaus galvos smegenų MRT tyrimo vaizdus, reikia atsižvelgti į normalią struktūrą anatomiją tam tikrais vystymosi laikotarpiais, nes smegenų vystymasis yra labai dinamiškas ir vaizdai gali iš esmės keistis kas savaitę [20–23].

Rutiniškai vaisiaus MRT yra atliekami 1,5 T (tesla) tomografais. Vaisiaus smegenų ir stuburo vaizdai gaunami T2W/TSE seka, naudojant 3 mm storumo pjūvius be tarpo [24]. ICH vaizdai šiose sekose priklauso nuo praėjusio laiko tarp hemoragių atsiradimo ir MRT tyrimo atlikimo. Yra išskiriamais penkios kraujosruvu stadijos, kurios skirtingai atsispindi gautuose MRT vaizduose: 0–1 diena – kraujosruvos matomas izointensinio signalo intensyvumo (SI) T1W ir T2W sekose; 1–2 dienos – T2W sumažėjusio SI, o T1W išlieka izointensinio SI; 2–7 dienos – T1W SI didėja ir tampa hiperintensiniu; 7–14–28 dienos – T2W SI smarkiai didėja; > 12–28 dienos – T2W sekose hemoragiros matomas kaip aukšto SI su žemo SI apvadu, tuo tarpu T1W ICH matomas izointensinio SI su žemo SI apvadu. [25–26]. Nors MRT tyrimas yra neinvazinis, neturintis jonus ujančios spinduliuotés ir jokio neigiamo šalutinio poveikio pagal *The American College of Radiology white paper on MR safety*, vaisiaus MRT turėtų būti atliktas ne anksčiau nei 17–18 gestacijos savaitę, siekiant išvengti bet kokių galimų vystymosi sutrikimų ir netikslumų diagnozuojant, dažniausiai dėl mažo vaisaus dydžio ar dažnų naujono vaisaus judesių [24, 27].

Pristatomu atveju vaisiaus MRT tyrimas buvo atliktas 1,5 T stiprumo tomografu. Naudoti T2W/TSE, T1W/SE, DW režimai ir aksialiniai, sagitaliniai, koronariniai pjūviai, be intraveninio kontrastinio vaizdo sustiprinimo. Dešinėje pusėje nustatytas poūmio pakraujavimo židinys be aplinkinės reakcijos, apimantis germinalinį matriksą, pžievio branduolius ir corona radiata (II–IVH).

IVH diagnostika yra apsunkinta, pirma – sunku gautuose vaizduose pastebėti patologinius pokyčius, antra – net ir pastebėjus pokyčius, sudėtinga juos diferencijuoti su normaliais intrakranijiniais audiniais. Tačiau, tobulėjant UG įrangai ir gerėjant vaisiaus MRT prieinamumui, diagnozuotu IVH *in utero* atvejų skaičius didėja [6].

Prognozė

Vaisių, kuriems prenataliai diagnozuotas IVH, išgyvenamumo prognozė priklauso nuo hemoragių lokalizacijos, dydžio ir laipsnio [28]. Esant I-II laipsnio IVH, išgyvenamumo prognozė yra gera, o III-IV laipsnio – bloga. Mirtingumas, esant IV laipsnio IVH, siekia 90 % [28]. Tiksliai duomenų apie tolimesnį neurologinį vaikų, kuriems prenataliai diagnozuotas IVH, nėra. Tik retais atvejais IVH būna izoliuota patologija, jai labai būdingas komorbiditiskumas.

Tai trukdo vertinti būtent šios patologijos įtaką tolimesniams neurologiniam vaikų vystymuisi [29].

Mūsų pristatomu atveju naujagimiui atlikus pirminį neurologinį ištyrimą, jokios neurologinės simptomatikos nestebėta. Pacientui augant, išryškėjo kairiosios kūno pušės parezės požymiai, o nuo dvejų metų amžiaus pasireiškė traukulių priepluliai, todėl buvo nustatyta spazminio cerebrinio paralyžiaus ir židininės simptominės epilepsijos diagnozė. Pacientas gydomas kineziterapija ir VPA preparatais.

Literatūra

- Burstein J, Papile LA, Burstein R. Intraventricular hemorrhage and hydrocephalus in the preterm newborn: a prospective study with CT. AJR Am J Roentgenol 1978; 132: 631–5.
- Papile LA, Burstein J, Burstein R, Koffler H. Incidence and evolution of subependymal and intraventricular hemorrhage: a study of infants with birth weights less than 1,500 gm. J Pediatr 1978; 92: 529–34.
- Vergani P, Strobel N, Locatelli A, Paterlini G, Tagliabue P, Parravicini E, Ghidini A. Clinical significance of fetal intracranial hemorrhage. Am J Obstet Gynecol 1996; 175(3 Pt 1): 536–43.
- Elchalal U, Yagel S, Gomori JM, Porat S, Beni-Adani L, et al. Fetal intracranial hemorrhage (fetal stroke): does grade matter? Ultrasound Obstet Gynecol 2005; 26: 233–43.
- Sherer DM, Anyaegbunam A, Onyeije C. Antepartum fetal intracranial hemorrhage, predisposing factors and prenatal sonography: a review. Am J Perinatol 1998; 15(7): 431–41.
- Kutuk MS, Yikilmaz A, Ozgun MT, Dolanbay M, Canpolat M, et al. Prenatal diagnosis and postnatal outcome of fetal intracranial hemorrhage. Childs Nerv Syst 2014; 30: 411–8.
- Lustig-Gillman I, Young BK, Silverman F, et al. Fetal intraventricular hemorrhage: sonographic diagnosis and clinical implications. J Clin Ultrasound 1983; 11: 277–80.
- Minkoff H, Schaffer RM, Delke I, Grunebaum AN. Diagnosis of intracranial hemorrhage in utero after a maternal seizure. Obstet Gynecol 1985; 65: 22–4.
- Ozduman K, Pober BR, Barnes P, Copel JA, Ogle EA, Duncan CC, Ment LR. Fetal stroke. Pediatr Neurol 2004; 30: 151–62.
- Portman MA, Brouillette RT. Fetal intracranial hemorrhage complicating amniocentesis. Am J Obstet Gynecol 1982; 144: 731–3.
- Sadler LC, Lane M, North R. Severe fetal intracranial haemorrhage during treatment with cholestyramine for intrahepatic cholestasis of pregnancy. Br J Obstet Gynaecol 1995; 102: 169–70.
- Raybaud C, Levrier O, Brunel H, et al. MR imaging of fetal brain malformations. Childs Nerv Syst 2003; 19: 455–70.
- Coakley FV, Glenn O, Qayyum A, et al. Fetal MRI: A developing technique for the developing patient. AJR Am J Roentgenol 2004; 182: 243–52.
- Girard N, Raybaud C, Dericole C, et al. In vivo MRI of the fetal brain. Neuroradiology 1993; 35: 431–6.
- Girard N, Raybaud C, Poncet M. In vivo MR study of brain maturation in normal fetuses. AJNR Am J Neuroradiol 1995; 16: 407–13.
- Brisse H, Fallet C, Sebag G, et al. Supratentorial parenchyma in the developing fetal brain: in vitro MR study with histo-

- logic comparison. AJNR Am J Neuroradiol 1997; 18: 1491–7.
17. Levine D, Barnes PD, Madsen JR, et al. Central nervous system abnormalities assessed with prenatal magnetic resonance imaging. Obstet Gynecol 1999; 94: 1011–9.
 18. Levine D, Barnes PD, Madsen JR, et al. Fetal central nervous system anomalies: MR imaging augments sonographic diagnosis. Radiology 1997; 204: 635–42.
 19. Simon EM, Goldstein RB, Coakley FV, et al. Fast MR imaging of fetal CNS anomalies in utero. AJNR Am J Neuroradiol 2000; 21: 1688–98.
 20. Whitby EH, Paley MNJ, Sprigg A, et al. Comparison of ultrasound and magnetic resonance imaging in 100 singleton pregnancies with suspected brain abnormalities. BJOG 2004; 111: 784–92.
 21. Garel C. MRI of the fetal brain: normal development and cerebral pathologies. Berlin: Springer, 2004.
 22. Garel C, Chantrel E, Elmaleh M, et al. Normal gestational landmarks for cerebral biometry, gyration and myelination. Childs Nerv Syst 2003; 19: 422–5.
 23. Girard N, Raybaud C, Poncet M. In vivo MR study of brain maturation in normal fetuses. AJNR Am J Neuroradiol 1995; 16: 407–13.
 24. Glenn OA, Coakley FV. MRI of the fetal central nervous system and body. Clin Perinatol 2009; 36: 273–300.
 25. McKenzie CA, Levine D, Morrin M, et al. ASSET enhanced SSFSE imaging of the fetus. Pediatr Radiol 2010; 40(1): 68–81.
 26. Bradley WG. MR appearance of hemorrhage in the brain. Radiology 1993; 189(1): 15–26.
 27. Sahar N, Saleem. Fetal MRI: An approach to practice: A review. Journal of Advanced Research 2014; 5: 507–23.
 28. Castillo M. Neuroradiology companion, methods, guidelines, and imaging fundamentals. Lippincott Williams & Wilkins, 2006.
 29. Ghi T, Simonazzi G, Perolo A, Savelli L, Sandri F, Bernardi B, Santini D, Bovicelli L, Pilu G. Outcome of antenatally diagnosed intracranial hemorrhage: case series and review of the literature. Ultrasound Obstet Gynecol 2003; 22: 121–30.

R. Damošiūtė, D. Budriūnaitė, R. Gleiznienė

MAGNETIC RESONANCE IMAGING OF THE INTRAVENTRICULAR HAEMORRHAGE OF FETUS

Summary

Intracranial haemorrhage (ICH) is a common pathology of preterm newborns. The term ICH describes any haemorrhage which appears in cranial cavity including meninges, brain parenchyma, and ventricles. Of all ICH most often diagnosed prenatally is intraventricular haemorrhage (IVH). IVH is classified into four grades by its localization and extent. Ultrasound, magnetic resonance imaging, and combination of these radiological methods are useful in diagnosing IVH *in utero*. This article presents a case report from the Hospital of Lithuanian University of Health Sciences and a review of its radiological investigation.

Keywords: intraventricular haemorrhage, intraparenchymal haemorrhage, magnetic resonance imaging of fetus.

Gauta:
2015 03 03

Priimta spaudai:
2015 03 25